Spektrale Eigenschaften einer HDR-Kamera

Wolfram Hans, Florian Bäckermann, Stefan Müller, Dietrich Paulus

{hans, bakerman, stefanm, paulus}@uni-koblenz.de

Institut für Computervisualistik Universität Koblenz-Landau

04. Oktober 2007



Motivation Rahmenbedingungen

Versuchsreihen

Spektrallampen Vollständiges Spektrum Monochromator

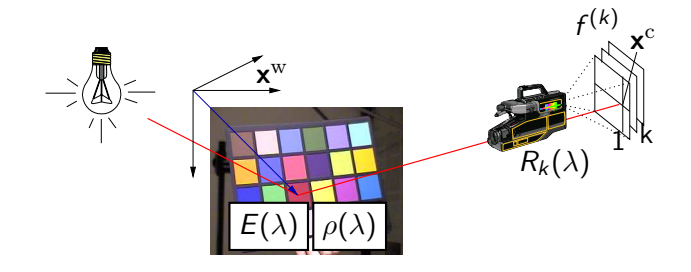
Auswertung

Spektralfarben Lineare Approximation

Ausblick und Zusammenfassung



Bildentstehungsmodell



$$f^{(k)} = \int_{\lambda} E^{\text{konstant}}(\lambda, dA_e) \cdot \rho(\lambda, dA_e) \cdot R_k(\lambda, E(\lambda)) \cdot d\lambda$$



Rahmenbedingungen

Bestimmung der Sensorempfindlichkeit einer HDR-Kamera

- Aufgabenstellung in einer Diplomarbeit
- Nutzung vorhandene Ausstattung des Instituts
- Unterstützung durch Lehrmittel der Physik

Verwendung von Spektralfarben wegen maximaler Sättigung



Versuch mit Spektrallampen

Erzeugung bekannter Wellenlängen durch diskretes Spektrum chemischer Flemente



- + Bekannte Spektrallinien
- Unterschiedliche Intensität
- Niedrige Strahlungsleistung



Versuch mit vollständigem Spektrum

Erhöhung der Bestrahlungsstärke durch vollständinges Spektrum mit stärkeren Lichtquellen



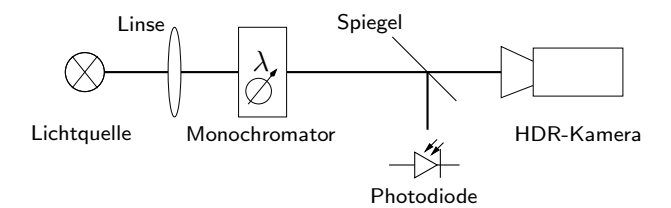
- + Gleiche Intensität
- + Höhere Strahlungsleistung
- Unbekannte Wellenlänge

Einleitung

Versuchsaufbau mit Monochromator

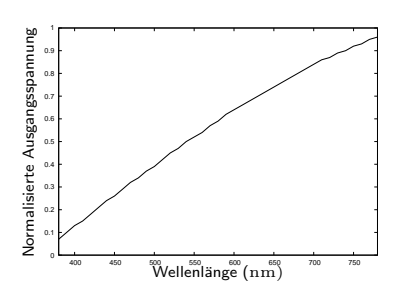
Spektrale Filterung mit Monochromator

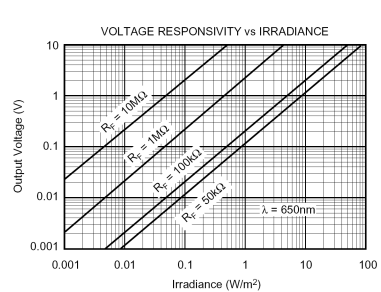
- ++ Bekannte Wellenlänge
 - Geringe Strahldichte (Damage Threshold $100\mathrm{W/cm^2}$)



Versuchsdurchführung

- ► Einsatz der HDR-Kamera GEVILUX CAM1xCL
- Verwendung einer hellen Kohlebogenlampe
- Abgleich der Bestrahlungsstärke über Kennline
- Datenaufnahme für 5, 10, 15 und $20 \mathrm{mW/m^2}$
- Durchstimmen des Monochromators in 10nm-Schritten



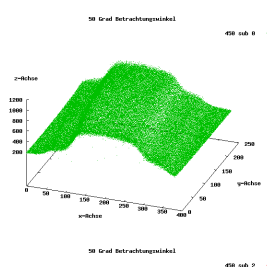


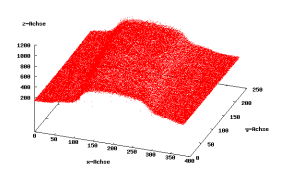
Quelle: Datenblatt des OPT101

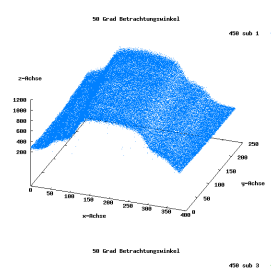


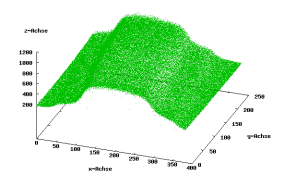
Versuchsreihen

Daten des Sensors bei $20 \mathrm{mW/m^2}$ und $450 \mathrm{nm}$

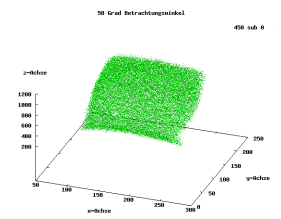


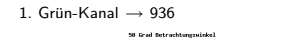


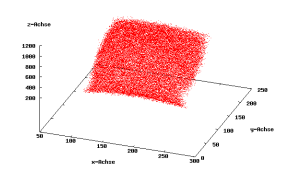




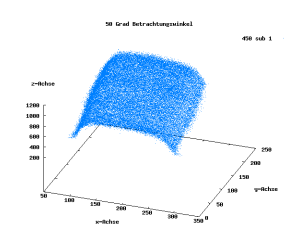
Versuchsauswertung



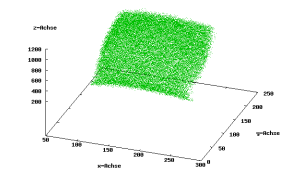




Rot-Kanal → 665



Blau-Kanal → 1208

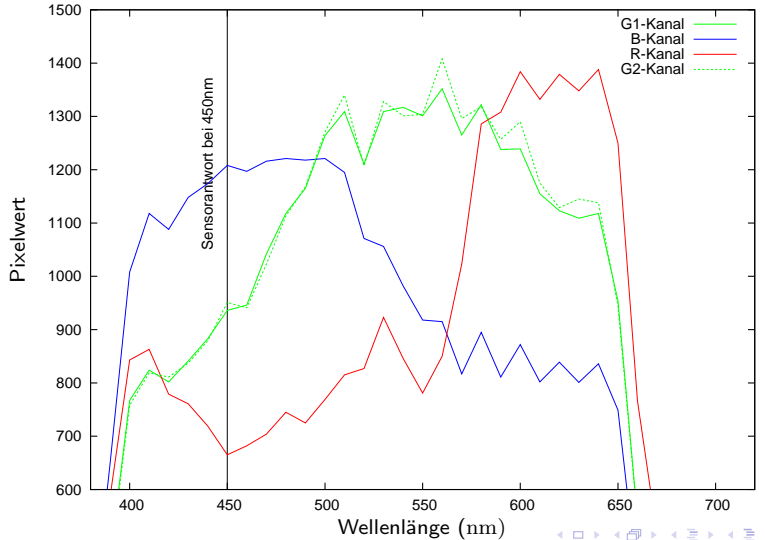


2. Grün-Kanal → 951



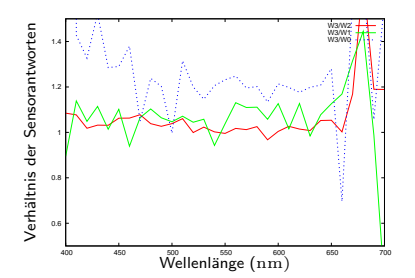
458 sub 3

Sensorantwort $R_k(\lambda)$

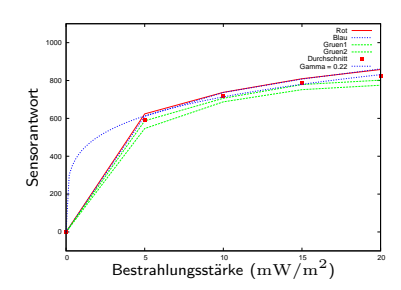


Einleitung

Versuchsergebnisse



Verhältnis der Sensorantwort bei unterschiedlichen Bestrahlungsstärken ist wellenlängenunabhängig.

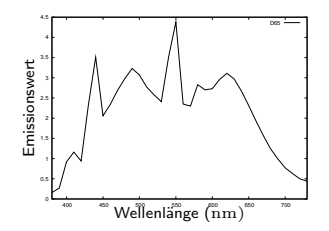


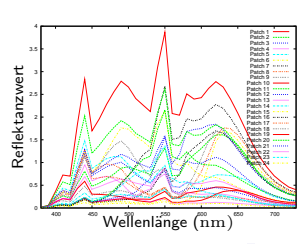
Zusammenhang zwischen Bestrahlungsstärke und Sensorantwort ist nichtlinear.

Alternatives Verfahren

Stützen der Ergebnisse durch ein weiteres Kalibrierverfahren

- + Lineare Annäherung der Sensorantwort
 - Keine direkte Zuordnung zur Wellenlänge möglich, Berechnung über Farbprüfmuster
 - Aufwendige Photospektrometrische Messungen von Lichtquelle und Oberflächenreflektivität





Lineare Schätzung der Sensorantwort

Diskretisierung des Bildentstehungsmodells

$$f^{(k)} = \sum_{\lambda=1}^{N} L_{o,\lambda} \cdot R_{k,\lambda} \qquad \Rightarrow \qquad \mathbf{f} = \mathbf{L}\mathbf{R}$$

Auswertung

Bekannt sind Kameraantwort f und Strahldichte L Lösen der unterbestimmten Gleichung

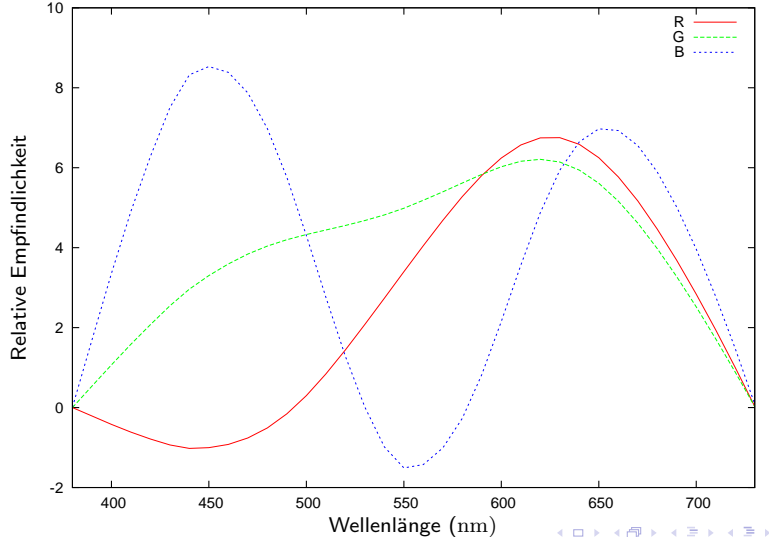
$$\parallel \mathbf{LR} - \mathbf{f} \parallel^2 \rightarrow \min$$

nur unter weiteren Randbedingungen möglich:

- Positivität
- Glattheit
- Unimodalität



Näherung der Sensorantwort $R_k(\lambda)$



- ▶ Beurteilung des Gamut bei extremen Lichtsituationen
- Einfluss von Automatikfunktionen der Kamera
- Verwendung mehrer Lichtquellen zu Vergrößerung der Messwertmatrix
- ► Ausnutzen des gesamten HDR-Dynamikumfangs

Zusammenfassung

- ► Ermitteln der spektralen Sensorempfindlichkeit
- bei konstanten und unterschiedlichen Bestrahlungsstärken
- Individuelle Auswertung des Bayer-Pattern
- Vergleich zweier Kalibrierverfahren

Quelle:

http://www.sternwarte-recklinghausen.de/verein/assets/images/db_images/db_ek_regenbogen221842_mezk.jpg